06

Влияние температуры на квантовую эффективность фотоэлектрохимического разложения воды микрои нанодендритами металл—полупроводник

© А.И. Сидоров ^{1,2}, А.В. Нащекин ³, Н.В. Никоноров ¹

¹Университет ИТМО, Санкт-Петербург, Россия

²Санкт-Петербургский государственный электротехнический университет "ЛЭТИ", Санкт-Петербург, Россия

³ФТИ им. А.Ф. Иоффе, Санкт-Петербург, Россия

E-mail: sidorov@oi.ifmo.ru

Поступило в Редакцию 2 декабря 2024 г. В окончательной редакции 6 января 2025 г. Принято к публикации 17 января 2025 г.

Исследованы внутренняя квантовая эффективность фотокаталитического разложения воды в водном растворе солей, близком по составу к морской воде, а также влияние температуры на фотокаталитические процессы. Показано, что максимальная квантовая эффективность фотокаталитического разложения воды при комнатной температуре для фотокатода из Ag-AgI составляет 1.9%, а для фотокатода из Cu-CuI-1.2%. Эффективность экспоненциально растет при увеличении температуры.

Ключевые слова: серебро, медь, иодид, морская вода, фотокатализ, разложение воды.

DOI: 10.61011/PJTF.2025.09.60231.20207

Фотокатоды на основе пористых слоев металлов представляют интерес для фотоэлектрохимического разложения воды на водород и кислород в солнечной энергетике. В ряде работ показаны возможности эффективного разложения воды в нанопористых слоях металлов и полупроводников [1-7].

В экспериментах по фотоэлектрохимическому разложению воды в основном используются электролиты, не связанные с химическим составом природной воды. Однако для практических приложений важно изучение эффективности фотокаталитического (ФК) разложения природной, в частности морской, воды. При ФК-разложении природной воды ее температура может меняться в зависимости от времени года и суток. Поэтому важной задачей является также изучение влияния температуры воды на квантовую эффективность (КЭ) ее ФК-разложения. Целью настоящей работы является исследование влияния температуры на КЭ разложения воды фотоэлектрохимическим методом в электролите, близком по составу к морской воде.

В качестве основы для фотокатодов с наноструктурированными (HC) слоями из серебра, меди и их иодидов использовались полированные пластины из меди и железа. Для синтеза HC-слоев из серебра и меди использовались химические реакции замещения [8]. Для синтеза HC-слоя из серебра подложки из меди погружались в водный раствор $AgNO_3$ (3.75 wt.%). Для синтеза HC-слоев меди подложки из железа погружались в водный раствор $CuSO_4 \cdot 5H_2O$ (5 wt.%). Продолжительность реакции составляла 4 s. Для проведения иодирования полученные HC-слои серебра и меди помещались в емкость с насыщенными парами иода. Иодирование

проводилось при комнатной температуре в течение $10-30\,\mathrm{min}.$

Для ФК-разложения воды фотокатод помещался в ячейку, заполненную "морской" водой, и освещался через окно из кварцевого стекла. Для имитации морской воды использовался водный раствор смеси NaCl (77.8), MgCl₂ (10.9), MgSO₄ (4.7), KCl (2.5), K₂SO₄ (2.5). В скобках указана массовая доля в процентах.

В качестве источника света использовался осветитель Novacure $2100\,\mathrm{c}$ ртутной лампой мощностью $3\,\mathrm{W}$ и спектральным интервалом излучения $250-500\,\mathrm{nm}$. На Φ К-ячейку подавалось постоянное напряжение $U=0.5-5\,\mathrm{V}$ через балластный резистор $1\,\mathrm{k}\Omega$. Внутренняя КЭ фотокатализа определялась по методике, описанной в [9].

Анализ изображений, полученных с помощью сканирующего электронного микроскопа, показал, что HC-слои представляют собой ветвящиеся наноструктуры в форме фрактальных дендритов длиной $20 \text{ nm} - 3 \, \mu \text{m}$ (рис. 1). Увеличение эффективной площади HC-слоя относительно площади подложки превышает 10^4 раз. При соблюдении условий синтеза коэффициент увеличения эффективной площади фотокатода сохраняется.

При помещении фотокатода из НС-иодида серебра или меди в ФК-ячейку, заполненную электролитом, и подаче светового потока на фотокатод в ячейке возникает фототок. Это указывает на выход электронов из фотокатода и возникновение фотоэлектрохимической реакции.

Зависимости КЭ от напряжения на ФК-ячейке для фотокатодов из Ag-AgI и Cu-CuI показаны на рис. 2. Из рисунка видно, что при увеличении напряжения на ФК-ячейке наблюдается рост КЭ и при $U > 3 \, \mathrm{V}$

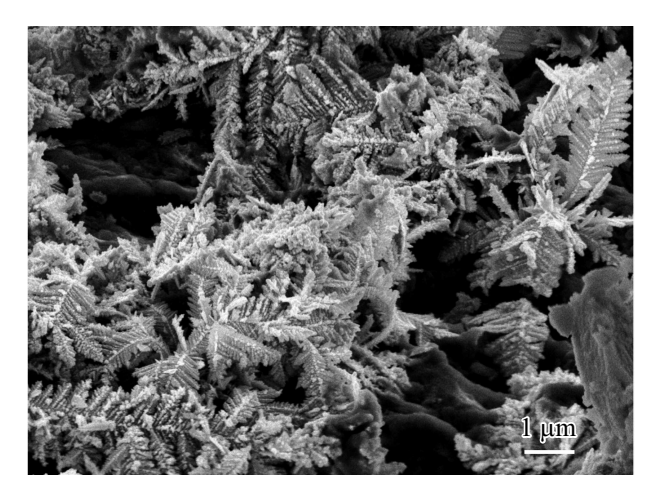


Рис. 1. Изображение поверхности фотокатода из Ag—AgI, полученное с помощью сканирующего электронного микроскопа.

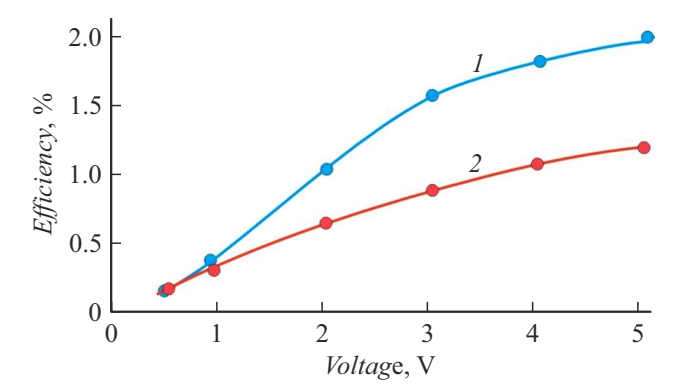


Рис. 2. Зависимость КЭ ФК-разложения воды от напряжения для нанопористого слоя из Ag—AgI (*1*) и Cu—CuI (*2*) после частичного иодирования. $T=20\,^{\circ}\mathrm{C}$.

происходит насыщение зависимости. Максимальная КЭ разложения для "морской" воды для фотокатода из Ag—AgI составляет 1.9%. Максимальная КЭ разложения в случае фотокатода из Cu—CuI составляет 1.2%. Причиной этого может быть то, что плазменная длина волны Ag равна 390 nm, а плазменная длина волны Cu равна 550 nm. Поэтому поверхностные плазмоны в Ag возбуждаются в более широком спектральном интервале.

Температурные зависимости КЭ ФК-разложения воды для фотокатодов из Ag-AgI и Cu-CuI показаны на рис. 3. Из рисунка видно, что зависимости близки к экспоненте. Зависимости для фотокатода из Ag-AgI с "морской" водой являются более крутыми, чем в случае фотокатода из Cu-CuI. При сохранении условий синтеза зависимости, показанные на рис. 2 и 3, сохраняются в пределах 5% при использовании фотокатодов разного типа

В случае поверхностного фотоэффекта электрон поглощает энергию фотона на границе раздела сред, и у него есть возможность выйти из металла с малыми

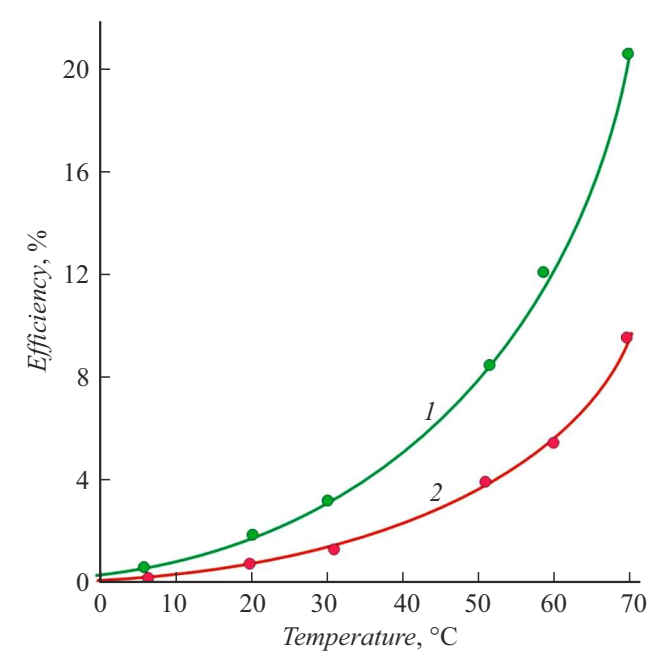


Рис. 3. Температурная зависимость КЭ ФК-разложения воды для фотокатода из Ag—AgI (I) и Cu—CuI (2). U = 3 V.

потерями энергии. Электрон после выхода в электролит способен восстанавливать ионы водорода. В случае фрактальных металлических дендритов с развитой поверхностью поверхностный фотоэффект позволяет увеличить КЭ ФК-разложения. При проведении частичного иодирования дендритов из серебра и меди наличие границы металл—полупроводник приводит к уменьшению потенциального барьера для выхода фотоэлектронов из металла в полупроводник и далее в электролит.

Рассмотрим вклад нагрева электролита в процессы ФК-разложения. Процессы нагрева электролита можно связать с макро- и микроэффектами. В первом случае происходит нагрев всего объема электролита. Во втором случае — только тонкого слоя электролита вблизи фотокатода. Кроме того, в "горячих точках" из-за увеличения интенсивности электромагнитной волны происходит локальный нагрев электролита в наномасштабах. Сильный нагрев электролита в наномасштабах может приводить к локальному усилению кавитации и образованию микрои нанопузырьков газа. Ионная проводимость, согласно закону Аррениуса, экспоненциально растет с ростом температуры. Удельная электропроводность электролитов растет при увеличении температуры электролита (эффект Кольрауша). Нагрев полупроводникового слоя также приводит к увеличению КЭ разложения воды за счет увеличения его проводимости и уменьшения ширины запрещенной зоны. Поэтому локальный нагрев электролита приводит к увеличению КЭ разложения

Таким образом, температурная зависимость КЭ разложения "морской" воды близка к экспоненциальной и при $T=70\,^{\circ}\mathrm{C}$ КЭ может достигать 20%. Причинами

этого являются как нагрев фотокатода излучением, так и локальный нагрев электролита вблизи поверхности фотокатода.

Финансирование работы

Работа выполнена при финансовой поддержке Российского научного фонда (проект № 20-19-00559).

Конфликт интересов

Авторы заявляют, что у них нет конфликта интересов.

Список литературы

- [1] C.G. Morales-Guio, S.D. Tilley, H. Vrubel, M. Grätzel, X. Hu, Nat. Commun., **5**, 3059 (2014). DOI: 10.1038/ncomms4059
- M.G. Walter, E.L. Warren, J.R. McKone, S.W. Boettcher, Q. Mi,
 E.A. Santori, N.S. Lewi, Chem. Rev., 110, 6446 (2010).
 DOI: 10.1021/cr1002326
- [3] Y. Ben-Shahar, F. Scotognella, I. Kriegel, L. Moretti, G. Cerullo, E. Rabani, U. Banin, Nat. Commun., 7, 10413 (2016). DOI: 10.1038/ncomms10413
- [4] J. Gan, X. Lu, Y. Ton, Nanoscale, 6, 7142 (2014).DOI: 10.1039/c4nr01181c
- [5] A.N. Koya, X. Zhu, N. Ohannesian, A.A. Yanik, A. Alabastri, R.P. Zaccaria, R.K.W.-C. Shih, D. Garoli, ACS Nano, 5, 6038 (2021). DOI: 10.1021/acsnano.0c10945
- [6] A.N. Koya, J. Cunha, T.-L. Guo, A. Toma, D. Garoli, T. Wang, S. Juodkazis, D. Cojoc, R.P. Zaccaria, Adv. Opt. Mater., 8, 1901481 (2020). DOI: 10.1002/adom.201901481
- [7] Т.В. Бланк, Ю.А. Гольдберг, ФТП, **41** (11), 1281 (2007). [T.V. Blank, Yu.A. Gol'dberg, Semicomductors, **41** (11), 1263 (2007). DOI: 10.1134/S1063782607110012].
- [8] П.А. Безруков, А.В. Нащекин, Н.В. Никоноров, А.И. Сидоров, ФТТ, 64 (8), 1096 (2022).
 DOI: 10.61011/PJTF.2025.09.60231.20207 [P.A. Bezrukov, A.V. Nashchekin, N.V. Nikonorov, A.I. Sidorov, Phys. Solid State, 64 (8), 1081 (2022).
 DOI: 10.61011/PJTF.2025.09.60231.20207].
- [9] R. Ron, E. Haleva, A. Salomon, Adv. Mater., 30, 1706755 (2018). DOI: 10.1002/adma.201706755